

Fe|MgO|Cu-Phthalocyanine 복합구조 계면구조와 그 전자기적 특성

배유정 · 이년종 · 김태희 *

이화여자대학교 물리학과, 서울시 서대문구 이화여대길 52, 120-750

Andrew Pratt

National Institute for Material Science (NIMS), Tsukuba, Ibaraki, 305-0044, Japan

(2013년 10월 16일 받음, 2013년 10월 30일 최종수정본 받음, 2013년 10월 31일 게재확정)

MgO 기반 스핀소자에 유기장벽 Cu-Phthalocyanine(CuPc)가 삽입된 무기\유기 터널 접합 소자 Fe|MgO(001)|CuPc|Co의 자기 저항 현상과 그 계면 특성의 상관관계에 대한 연구가 진행되었다. 특히 1.6 nm MgO(001) \times nm CuPc($x=0\sim5$) 계면의 전자기적 특성을 스핀 편극된 준안정상태 He 원자 분광계(Metastable Helium De-excitation Spectroscopy, MDS)를 이용하여 규명하였다. 에피 성장된 MgO(001) 위에 적층된 약 1.6 nm 두께의 CuPc 층상구조의 표면에서, MgO(001) 하지층의 표면과는 달리, up-spin band와 down-spin band의 비대칭성이 현저해지는 것으로 관찰되었다. 이 결과는 실온과 저온(77 K)에서 ~10 %와 30 %로 각각 측정된 자기저항 현상과 복합장벽을 통과하는 스핀거동을 이해하는데 중요한 단초를 제공해 준다.

주제어 : 무기-유기 복합구조, 스핀계면공학, 스핀소자, Metastable Helium De-excitation Spectroscopy

I. 서 론

나노크기에서 더 나아가 분자수준에서 작동되는 양자역학적 소자 구현을 위해 최근 유기반도체 물질을 스핀트로닉스 소자에 응용하는 연구에 대한 관심이 날로 높아지고 있다. 유기반도체는 구조적, 전자기적 기능성을 위한 화학적 성분조율이 용이하고, 스핀-궤도 상호작용(spin-orbit interaction)이 약해 긴 스핀 풀림 시간(long spin relaxation time)이 기대되지만, 강자성금속\유기반도체 계면에서 스핀 덫치기(trapping)와 산란으로 스핀 주입에 어려움이 있다. 이 문제를 해결하기 위해 유기분자의 화학적, 구조적 변조와 무기\유기 계면 특성 변조에 의한 일함수(work function) 조율 등, 스핀 전류를 형성하고 수송을 제어하려는 연구가 활발하게 진행되고 있다[1]. 이러한 과정에서 계면자기저항(interface magneto-resistance, IMR) 또는 스핀필터링(spin-filtering)과 같이 무기\유기 계면에서 발현되는 다양한 양자역학적 현상들이 보고되고 있다[2, 3]. 무기\유기 계면의 다양한 화학적 조성, 그리고 그 구조 조작의 중요성이 부각되면서 스핀계면공학 ‘spininterface(spin-interface)’라는 새로운 패러다임이 형성되고[4, 5], 특히 강자성금속\유기분자의 복합(hybridization)구조에서 계면특성을 정밀 규명 또 제어 하려는 노력이 계속되고 있다.

© The Korean Magnetics Society. All rights reserved.

*Corresponding author:

Tel: +82-2-3277-4647, e-mail: taehee@ewha.ac.kr

유기물 스핀트로닉스는 LSMO($\text{La}_{1-x}\text{Sr}_x\text{MnO}_3$)|Alq₃|Co 구조에 대한 미국 유타대학 연구진의 연구로부터 시작되었다[4]. LSMO은 준금속으로 잘 알려져 있으나, 자기상전이 온도(T_C)가 실온 이하이므로, 실온에서 소자의 구동을 기대하기 어렵기에 주로 저온에서 발현되는 자기저항 현상에 대한 보고가 잇달았다[4]. 이러한 LSMO의 한계를 극복하기 위하여 본 연구는 에피 성장된 Fe(001)|MgO(001) 스핀필터시스템에 대한 하부전극으로의 사용 가능성을 가름해보고자 하였다. Fe(001)|MgO(001)|Fe(001) 구조는 완벽한 대칭인 Bloch states의 정합터널링에 의해 100 % 편극된 스핀수송 발현이 예견되어 실온에서 수백 %에 이르는 거대자기저항 현상이 실증적으로 관찰됨으로서 테라급 비휘발성 메모리소자 개발관련 연구의 기초가 되었다.

본 연구에서는 스핀필터시스템 Fe(001)|MgO(001) 박막을 Si(001) 기판 위 MgO(001) 기저층 위에 형성하고, 그 위에 다시 매우 얇은 CuPc 유기박막을 성장하여 Ultra-violet photoemission spectroscopy(UPS)와 유사하지만 표면특성에 훨씬 민감한 Metastable Helium de-excitation spectroscopy (MDS)를 이용하여 그 표면의 전자기적 특성과 하지층에 따른 영향을 집중적으로 규명해보고자 하였다. 특히 CuPc 분자와 MgO(001) 하지층 사이의 상호작용력에 따라 CuPc 분자의 성장양상을 관찰하기 위해, 에피성장된 Fe(001)|MgO(001) 위에 CuPc를 점진적으로 적층하면서 MDS실험을 실시간으로 실행하였다.

II. 실험방법

표면(또는 계면)특성 규명을 위한 Si(001)|MgO(001)|Fe(001)|MgO(001)|CuPc 복합다층 박막과 스핀수송 특성을 연구하기 위한 Si(001)|MgO(001)|Fe(001)|MgO(001)|CuPc|Co 터널접합소자를 구성하는 무기물질은 UHV-MBE 장비로 유기물질은 HV-열증착장비(thermal evaporator)를 이용하여 제작되었다. UHV-MBE 장비의 기본 진공도는 2×10^{-10} Torr 이하로 증착되는 동안 진공도는 5×10^{-9} Torr로 유지되었다. 화학적 처리방법으로 SiO_2 산화층을 제거한 Si 기판 위에 MgO 기저층을 250 °C의 기판온도에서 5 nm 두께로 적층하였다. 그 위에 약 15 nm 정도의 Fe 또는 1.6 nm의 MgO를 연속적으로 동일한 기판온도(250 °C)에서 증착하고, 시료를 실온(300 K)에 이르게 한 후 열증착장비로 시료를 옮겨 CuPc 박막을 0~5 nm 두께로 증착하였다. $75 \mu\text{m}^2$ 면적에 해당하는 접합소자의 자세한 제작과정은 본 그룹이 앞서 발표한 다른 연구논문들[6, 7]에서 다루었기에 본 논문에서는 생략한다.

터널접합의 V-I 특성곡선은 4극-탐침기법(4-point probe technique)을 이용하여 77에서 300 K에 이르는 온도에서 측정되었다. Oxford 사의 continuous flow cryostat 외장에 설비된 전자식으로 1 Tesla 이하의 자기장을 인가할 수 있도록 설계되었으며 이 home-made 실험장비를 이용하여 자기저항 및 다양한 스핀수송특성을 측정하였다.

Fe(001)|MgO(001) 에피터셜 성장과 매우 얇은 CuPc 유기 박막 성장의 구조특성을 RHEED(Reflection high-energy electron diffraction)를 이용하여 규명하였다. 이 RHEED 실험은 유기물 박막에 유리한 낮은 에너지 전자빔 방출이 가능하고, MCP(Micro channel plate) 스크린이 장착되어 더 밝고 선명한 회절 패턴을 얻을 수 있는 R-Dec. pico-RHEED를 보유하고 있는 일본 이화학연구소(RIKEN)에서 진행되었다.

MDS는 각분해(angle-resolved) 측정을 진행하고 분산관계(dispersion relation)를 분석하여 시료의 표면 특성을 이끌어내는 UPS 실험 방법과 유사하나, 광자 대신 준안정적인(metastable) He (He^*) 원자를 주입하고, 탈들뜸(de-excitation) 과정이 표면 원자의 진공 쪽에서 일어나기 때문에 가장 바깥 표면의 스핀정보를 직접적으로 획득하는, 표면특성을 보다 민감하게 측정할 수 있는 장점이 있다. 해당 실험이 진행된 일본 NIMS 연구소의 SP(spin-polarized)-MDS 장비는 스핀편극된 He* 원자를 입사시키기 때문에 표면의 스핀 비대칭(asymmetry)에 대한 정보 획득이 가능하다. 이 실험장비에 대한 상세한 정보는 참고문헌[8]과 [9]에 소개된 바와 같다.

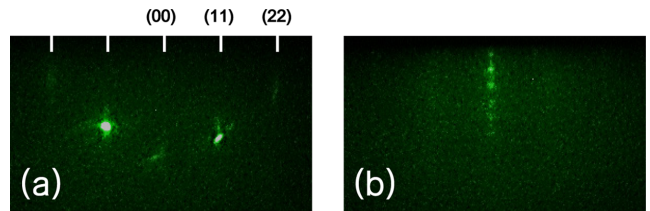


Fig. 1. (Color online) RHEED patterns observed for the (a) 5 nm thick MgO buffer layer grown on etched -Si(001) substrate, (b) 1.6 nm thick CuPc grown on Si(001)|5 nm MgO(001) multilayer.

III. 결과 및 논의

Fig. 1(a)의 RHEED 이미지는 화학적으로 에칭된 Si(001) 기판 위에 적층된 하지층 MgO(001) 박막의 우수한 결정성을 보여준다. 이 하지층의 우수한 결정성은 본 그룹의 앞서 발표된 연구에서 동일한 성장조건에 의해 제작된 시료에 대한 XRD와 TEM 결과를 기반으로 언급된 바 있다. 그러나 무기 유기 복합 디층박막의 우수한 계면의 평탄도와 결정구조 특히 에피 성장된 층상구조를 형성하기 위해 맨 아래 MgO 하지층의 결정구조와 표면의 평탄도는 중요한 요소로 작용한다. 또한 Fig. 1(b)는 MgO 하지층 위에 60 °C에서 증착된 1.6 nm CuPc 박막 표면에 대한 RHEED 이미지에 해당한다. 하지층 MgO의 면심입방(face centered cubic) 층상구조를 의미하는 line-pattern이 보다 선명하게 관찰되었으며 희미하지만 CuPc의 층상구조에 해당하는 line-pattern 또한 확인되었다. 이 결과는 앞서 발표된 동일한 성장조건으로 제작된 Si(001)|5 nm MgO(001)|7 nm Fe(001)|1.6 nm MgO(001)|1.6 nm CuPc 디층박막에 대한 XRD와 AFM 구조분석 결과[6]를 고려할 때 CuPc 박막의 결정성은 우수하지 않으나 1.6 nm의 두께에서 Frank-van der Merwe 식의 우수한 괴복률의 층상구조가 형성됨을 뒷받침해 준다. 또한 3 nm 이상의 CuPc 두께에서 Stranski-Krastanov 식의 박막구조가 형성되어 표면 평탄도가 깨짐을 관찰하였다. 이러한 유기물의 성장양상은 Alq_3 나 pentacene 같은 유사한 물질에서도 관찰된 바 있다.

Fig. 2의 (a)와 (b)는 293 K와 77 K에서 측정된 Si(001)|5 nm MgO(001)|15 nm Fe(001)|1.6 nm MgO(001)|1.6 nm CuPc|25 nm Co 터널접합소자의 자기저항 측정 결과를 보여준다. 실온에서는 약 8 %, 77 K에서는 약 30 % 정도의 자기저항 값이 측정되었다. 2~3 nm의 스핀산란거리(spin scattering length)[10]를 고려하여 참고문헌[7]에 소개된 2 nm MgO(001)|2 nm CuPc보다 얇은 1.6 nm MgO(001)|1.6 nm CuPc 터널장벽을 형성하여 접합소자의 저항이 약 수백 $\text{k}\Omega$ 정도로 감소함에 따라 저온에서 자기저항 측정이 가능하였다. 이 결과는 CuPc 장벽 없이 기존의 MgO 기반 저항소자에 대한 저온에서 측정된 137 %(참고문헌[7] 참조)에 비교할 때 약

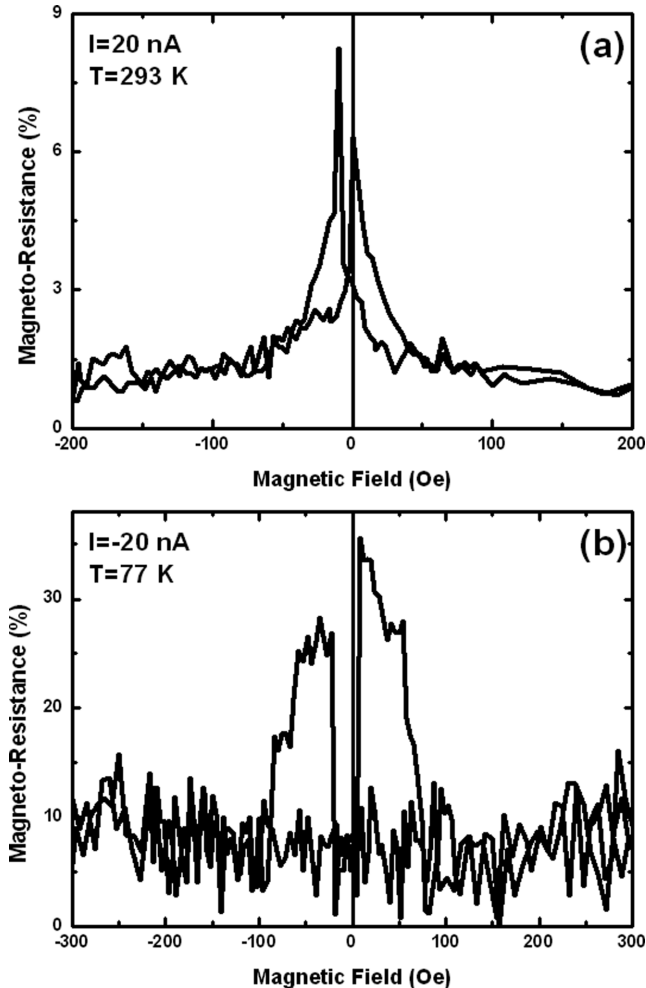


Fig. 2. Magnetoresistance characteristics of Si(001)\5 nm MgO(001)\15 nm Fe(001)\1.6 nm MgO(001)\1.6 nm CuPc\25 nm Co tunnel junction measured at (a) 293 K and (b) 77 K.

20 %에 해당하는 낮은 자기저항 현상을 보이나, 앞서 발표된 다른 연구진들의 유사 연구결과와 비교할 때, 매우 고무적인 결과라 볼 수 있다. 또한 CuPc의 성장조건 최적화에 의한 그 결정성 혹은 질서도를 개선하여 유기물반도체에서 예견된 수십 μm 에 이르는 스판산란거리를 기반으로 한 높은 효율의 유기물 스핀소자를 개발할 수 있음을 시사해준다.

Fig. 3은 스팬편극된 준안정상태의 He 빔을 이용하여 (c) Fe(001) 위에 증착된 1.6 nm 두께의 MgO(001), (b) 1 nm 두께의 CuPc와 (a) 1.6 nm 두께의 CuPc에 대한 majority (up-spin)와 minority(down-spin) 밴드의 상대적 양상에 대한 MDS 측정 결과이다. 주목할만한 것은 MgO 표면에 Fermi level 근처에서 미약하나 약 1 % 정도의 스팬편극 양상이 관찰되었고 이는 1 nm 두께의 CuPc 증착과 함께 사라졌다가 다시 1.6 nm의 CuPc 층에 이르러 kinetic energy 13 eV의 Fermi level에서 명확하게(약 6 %에 이르는) 스팬편극 양상을

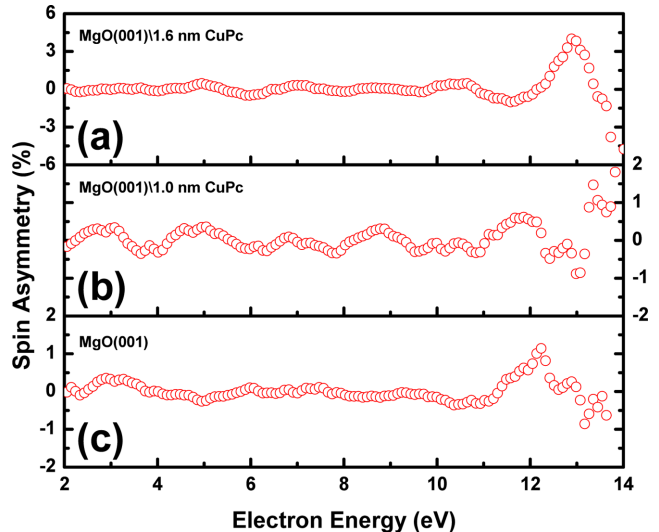


Fig. 3. (Color online) Spin asymmetry observed at room temperature on the (a) 1.6 nm and (b) 1 nm thick CuPc grown on the 7 nm Fe(001)\1.6 nm MgO(001); (c) the 1.6 nm thick MgO grown on the 7 nm thick Fe(001) layer.

보인다는 것이다. Ⓛ Fig. 3(c)의 MDS 스펙트럼은 Yamauchi et al.^[1] 연구한 Fe(001) 위에 직접 증착된 CuPc 단층막(1 monolayer)의 결과와 매우 유사하다[11]. Yamauchi와 그의 공동연구자들은 강자성 박막 Fe(001)에 의해 CuPc 단층막에 유도된 스팬편극에 대한 직접적 실험적 검증과 함께 CuPc 박막의 두께가 증가함에 따라 Stranski-Krastanov 식의 박막 형태가 형성되어 CuPc 분자의 적층구조의 질서도가 깨짐에 의해, 유도된 스팬편극 현상도 파괴됨을 보고하였다. 이는 우리가 관찰한 RHEED 결과와도 매우 일치하는 것으로 Fe(001)\MgO(001) 층 위에 1.6 nm의 CuPc 두께에 이르러 완전한 피복률의 단층이 형성되고 그 후 3 nm 이상에서는 Stranski-Krastanov 식의 박막성장 양상을 관찰한 것과 유사하다. 또한 3 nm 이상 두께의 CuPc에 대한 MDS 스펙트럼에서 스팬편극 양상이 관측되지 않는 것과도 일치하는 결과이다. 본 연구결과는 매우 얇은 CuPc 단층막을 형성하였을 때, 완벽한 대칭인 Bloch states의 정합터널링에 의해 100 %의 편극이 가능한 Fe(001)\MgO(001)의 자기적 특성에 의해 괄목할 만한 스팬편극의 가능성을 여실히 보여준다. 아울러, 보다 계면의 특성을 정밀제어하고 또 높은 질서도의 CuPc 단층을 형성한다면, 유기물 공명터널 스팬소자 구현 가능성 또한 시사해 준다.

IV. 결 론

이 연구는 MgO 기반 스팬소자에 얇은 CuPc 단층막을 삽입하여 MgO(001)\CuPc 복합장벽을 통과하는 스팬수송 현상

과 CuPc 박막 성장모드의 상관관계에 대해 연구하였다. 스핀 편극 MDS 실험으로 MgO(001)/CuPc 계면의 전자기적 특성을 직접적으로 관찰하여 Fe(001)/MgO(001) 스핀필터시스템에 의해 유도된 CuPc 분자 층의 스핀편극 현상을 규명하였다. 이 실험결과는 실온에서 상대적으로 낮은 자기저항치는 주입된 스핀과 CuPc 분자에 유도된 스핀들의 산란에 의한 것일 수 있다는 예측을 가능하게 하고, 또한 MgO(001)/CuPc 계면특성을 정밀 제어하여 CuPc 단층의 질서도를 개선하면 이론적으로 유기물 스핀소자에서 기대되는 높은 효율의 공명 터널소자 구현이 가능함을 지적해준다. 본 연구에 이어서 유도된 CuPc 스핀편극 현상의 온도 의존성, Fe(001)/MgO(001) 스핀필터시스템에 적층된 다른 유기물(ZnPc)에 대한 폭 넓은 실험결과 확보 등 보다 체계적이고 심도 있는 연구가 진행중이다.

감사의 글

본 연구결과 중 RHEED 실험은 일본 이화학연구소의 Flucto-Order Functions Research Team에서 진행되었으며 실험을 도와준 Eisuke Ito 박사에게 깊은 감사를 표하는 바이다. 이 연구는 한국연구재단의 기초연구지원사업의 일반연구자지원사업(NRF-2010-0006749)과 중견연구자지원사업(NRF-2011-0017209)의 지원에 의해 진행되었다.

참고문헌

- [1] G. Szulczewski, H. Tokuc, K. Oguz, and J. M. D. Coey, *Appl. Phys. Lett.* **95**, 202506 (2009).
- [2] H. B. Akkerman, R. C. G. Naber, B. Jongbloed, P. A. van Hal, P. W. M. Blom, D. M. de Leeuw, B. de Boer, *et al.*, *Proc. Natl. Acad. Sci. USA* **104**, 11161 (2007).
- [3] T. Liang, Y. Makita, and S. Kimura, *Polymer* **42**, 4867 (2001).
- [4] C. Barraud, P. Seneor, R. Mattana, S. Fusil, K. Bouzehouane, C. Deranlot, P. Graziosi, L. Hueso, I. Bergenti, V. Dedić, F. Petroff, and A. Fertet, *Nature Phys.* **6**, 615 (2010).
- [5] S. Steil, N. Großmann, M. Laux, A. Ruffing, D. Steil, M. Wiesensmayer, S. Mathias, O. L. A. Monti, M. Cinchetti, and M. Aeschlimann, *Nature Phys.* **9**, 242 (2013).
- [6] Y. J. Bae, N. J. Lee, T. H. Kim, H. Cho, C. Lee, L. Fleet, and A. Hirohata, *Nanoscale Research Letters* **26**, 650 (2012).
- [7] Y. J. Bae, N. J. Lee, and T. H. Kim, *J. Kor. Mag. Soc.* **22**, 162 (2012).
- [8] Y. Yamauchi and M. Kurahashi, *Appl. Surf. Sci.* **169**, 236 (2001).
- [9] M. Kurahashi, S. Entani, and Y. Yamauchi, *Rev. Sci. Instrum.* **79**, 073902 (2008).
- [10] I. Bergenti, V. Dedić, E. Arisi, T. Mertelj, M. Murgia, A. Rimini, G. Ruani, M. Solzi, and C. Taliani, *Org. Electron.* **5**, 309 (2004).
- [11] T. Suzuki, M. Kurahashi, and Y. Yamauchi, *J. Phys. Chem. B* **106**, 7643 (2002).

Electronic and Structural Properties of Interfaces in Fe|MgO|Cu-Phthalocyanine Hybrid Structures

Yu Jeong Bae, Nyun Jong Lee, and Tae Hee Kim*

Department of Physics, Ewha Womans University, 52, Ewhayeodae-gil, Seodaemun-gu, Seoul 120-750, Korea

Andrew Pratt

National Institute for Material Science (NIMS), Tsukuba, Ibaraki 305-0044, Japan

(Received 16 October 2013, Received in final form 30 October 2013, Accepted 31 October 2013)

The influence of insertion of an ultra-thin Cu-Phthalocyanine (CuPc) between MgO barrier and ferromagnetic layer in magnetic tunnel junctions (MTJs) was investigated. In order to understand the relation between the electronic and structural properties of Fe|MgO|CuPc, the surface (or interface) analysis was carried out systematically by using spin polarized metastable He de-excited spectroscopy for the CuPc films grown on the Si(001)|5 nm MgO(001)|7 nm Fe(001)|1.6 nm MgO(001) multilayer structure as the thickness of CuPc increases from 0 to 5 nm. In particular, for the 1.6 nm CuPc surface, a rather strong spin asymmetry between up- and down-spin band appears while it becomes weaker or disappears for the CuPc films thinner or thicker than ~1.6 nm. Our results emphasize the importance of the interfacial electronic properties of organic layers in the spin transport of the hybrid MTJs.

Keywords : inorganic\organic hybrid structure, spininterface, spintronic device, metastable helium de-excitation spectroscopy